

## 文 献

- 1) 渡辺, 柴崎, 熊田: 日本製鋼技報, (1962) 9, p. 965
- 2) 堀, 荒木田, 田部: 鉄と鋼, 51 (1965) 11, p. 2004
- 3) 門間: Sciens Reports of the Tohoku Imperial University, Series 1, 28 (1939) 1, 128  
門間: 日本金属学会誌, 4 (1940) 6, p. 315
- 4) L. P. TARASOV: Trans. Amer. Soc. Metals, 36 (1946), p. 389; 41 (1949), p. 895
- 5) L. V. COLOWELL et ali: Trans. Amer. Soc. Mech. Eng., 80 (1958), p. 1955
- 6) 下田, 阪部, 松尾: 鉄と鋼, 51 (1965) 11, p. 2001
- 7) H. BUHLER et ali: Arch. Eisenhüttenw., 6 (1933), p. 283; 7 (1934), p. 359

(159) 3Cr-1·5Mo, 3Cr-1·5Mo-0·3V, 8Cr-1Mo-1·5V 鋼の焼戻挙動について  
(熱間工具鋼に関する研究一VIII)  
日本特殊鋼

西村 富隆・○新山 善之

On the Tempering Behavior of 3Cr-1·5Mo,  
3Cr-1·5Mo-0·3V and 8Cr-1Mo-1·5V Steels.

(Study on hot-working tool steel—VIII)

Tomitaka NISHIMURA and Yoshiyuki SHINYAMA.

1. 緒 言

鋼や合金などを焼戻した場合に生ずるいろいろな現象は、その温度と時間によって支配されることは周知のことである。実用の熱間工具鋼は、高温において連続的あるいは間歇的に長時間使用されているうちには、一種の焼戻挙動を受けて種々の性質が変化する。したがつて、熱間用の鋼に対しては焼戻挙動の影響を十分に把握することが重要と考えられる。このようなわけで、われわれは数多くの熱間工具鋼の焼戻挙動現象について研究したが、これらの結果についてはすでに数回にわたり報告したり<sup>1)~6)</sup>。今回は3Cr系と8Cr系の3鋼種をいままでと同様に焼戻した場合に、硬度、衝撃値、炭化物反応がどのように変化するかを調べ、そして3供試鋼の

焼戻挙動現象について検討した結果を報告する。

2. 試料および実験方法

供試材としては、35kVA高周波誘導炉にて溶製した8kg鋼塊を14mmφと14mmφに鍛伸してから焼鈍したものを使用した。これら試料の化学成分をTable 1に示す。

切削加工試料はすべて1200°Cに1hr保持して炭化物を基地中に完全に溶かし込んでから油冷し、ただちに-73°C×3hrの深冷処理をほどこした後焼戻挙動を行なつた。その他の実験方法もすべて前報までの場合とまったく同様である。

3. 実験結果

3.1 硬度および衝撃値

3Cr-1·5Mo-0·3V型のSV8(焼入硬度HRC 63·0)を400~700°Cの各温度で1000hrまでの焼戻挙動を行なつた場合には、Fig. 1のような硬度と時間の関係が得られる。400°Cにおいては硬度は時間とともに増加している。ところが450°Cになると、100hr付近までは硬化が進行するが、それ以後は軟化するので100hr近傍に硬度の極大が生ずる。500°Cではこの極大はさらに短時間側の10hr付近に移動し、550°Cでは0·35hr以前の時間で生ずるようになる。このように硬度極大が生ずる

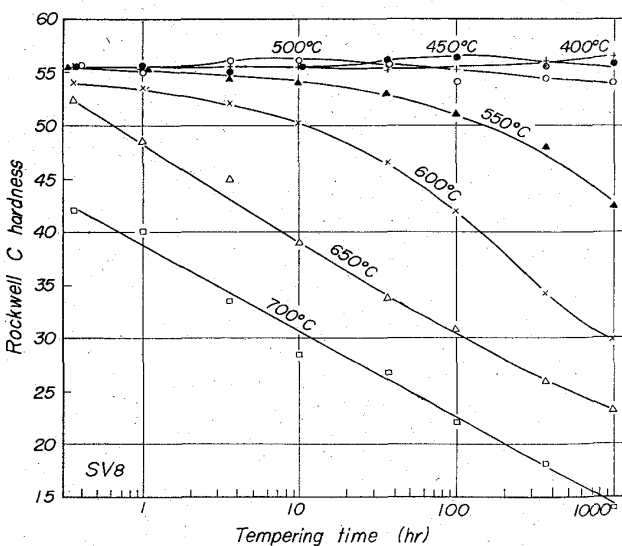


Fig. 1. Isothermal tempering hardness curves for SV8 steel.

Table 1. Chemical composition of specimens (%).

Designation	Type	Specimen No.	C	Si	Mn	P	S	Cr	Mo	V
S7	3Cr-1·5Mo	1	0·47	0·33	0·66	0·007	0·015	3·03	1·42	—
		2	0·47	0·33	0·70	0·006	0·017	3·05	1·41	—
SV8	3Cr-1·5Mo-0·3V	1	0·48	0·32	0·80	0·007	0·015	3·18	1·42	0·31
		2	0·47	0·34	0·83	0·007	0·018	3·23	1·42	0·33
SV10	8Cr-1Mo-1·5V	1	0·47	1·00	0·37	0·008	0·016	7·96	1·21	1·42
		2	0·47	1·03	0·34	0·010	0·019	7·91	1·27	1·40

Specimen 1 was used for hardness, impact, extraction replica tests, and 2 for electrolytic extraction.

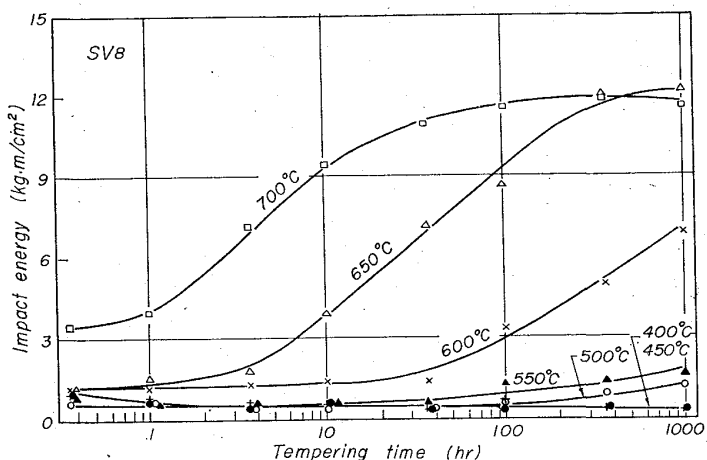


Fig. 2. Isothermal tempering impact energy curves for SV8 steel.

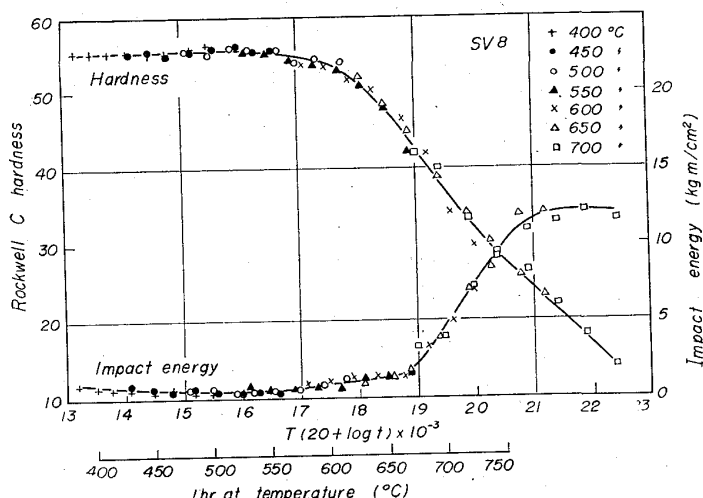


Fig. 3. Master tempering hardness and impact energy curves for SV8 steel.

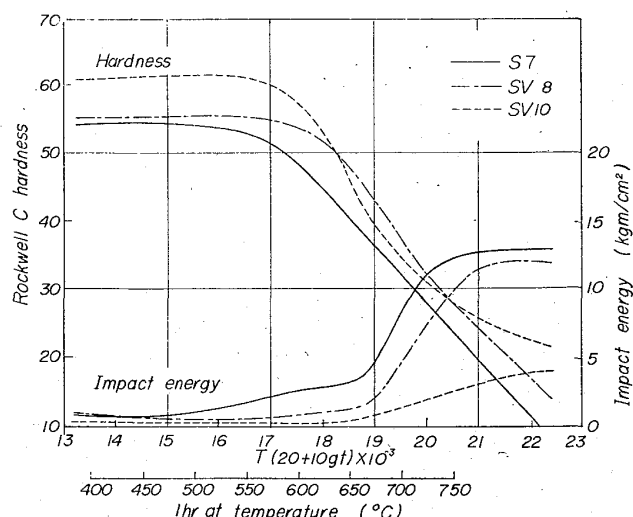


Fig. 4. Master tempering hardness and impact energy curves for S7, SV8, and SV10 steels.

時間は焼戻温度が高くなるにしたがつて短時間側に規則的に移行している。650°C, 700°Cにおいては0.35hrで、すでに軟化状態にあり、硬度は時間とともに直線的に減少している。

Fig. 2 は、硬度の場合と同様に、SV8の常温シャルピー衝撃値を焼戻時間との関係において表わした図である。400~450°C の焼戻温度においては衝撃値は直線的にわずかに低下する。500~550°C では長時間側において若干増大する傾向が見られ、600°C では約 40hr, 650°C では 4hr 付近から急激に増している。また 700°C の場合にも 1hr 付近から同様の傾向を示すが、100hr 以後はほとんど一定の値を示すようになる。

つぎに SV8 の硬度値と衝撃値を焼戻パラメータ  $P = T(20 + \log t) \times 10^{-3}$  に対してプロットすると、Fig. 3 のような焼戻硬度母曲線と焼戻衝撃値母曲線が得られる。硬度曲線は  $P = 16$  近傍でわずかな硬化の微候を示すが、 $P = 17.5$  付近までは硬度はほとんど一定と見なされうる。そしてそれ以後は直線的に急激に減少する。衝撃値は  $P = 18.8$  までは大差のない値を示すが、ここを過ぎると急激に増大し、そして  $P = 21$  を越すとほとんど変化しなくなる。

このようにして、S7, SV8, SV10 の 3 供試鋼に對して得た硬度と衝撃値の母曲線をひとまとめにしたもののが Fig. 4 である。まず硬度曲線に着目すると、S7 は前述の SV8 とまったく同様の形をしているが焼戻軟化抵抗は SV8 ほど大きくはない。このように V 含有の影響があらわれ、V は焼戻軟化抵抗を増加することが推察される。また SV10 は、S7, SV8 にくらべると、低パラメータ値側では硬度が高く、高パラメータ値側では軟化速度が小さい。S7 の衝撃値曲線は、硬度と同様に SV8 とまったくよく似た形をしているが、SV8 よりは全般的に高い値を示している。SV10 の衝撃値は  $P = 18.5$  までは一定であるが、それ以後は漸増している。以上の硬度母曲線と衝撃母曲線を対比してみると、3 鋼種とも軟化の急激に生ずるところは、衝撃値の急激に増大するところよりかなり低パラメータ値側によつている。

### 3.2 炭化物反応

Fig. 5 は、S7, SV8, SV10 の焼戻時効試料から得た電解残渣を X 線回折した際に、 $\text{Fe}_3\text{C}$  の (103),  $\text{Mo}_2\text{C}$  の (101),  $\text{M}_7\text{C}_3$  の (202),  $\text{M}_6\text{C}$  の (335),  $\text{M}_{23}\text{C}_6$  の (422) の各折線と  $\text{V}_4\text{C}_3$  の最強回折線の高さを相対強度によって、これら炭化物量を相対的に表わしたものである。これによると、一種類の炭化物量の焼戻時効による変化を相対的に知ることができ、また異種炭化物間の量的な差をもごく概略的に知ることもできる。

まず S7 では  $\text{Fe}_3\text{C}$ ,  $\text{Mo}_2\text{C}$ ,  $\text{M}_7\text{C}_3$ ,  $\text{M}_6\text{C}$ ,  $\text{M}_{23}\text{C}_6$  の 5 種類の炭化物が検出され、 $\text{Fe}_3\text{C} \rightarrow \text{Fe}_3\text{C} + \text{Mo}_2\text{C} \rightarrow \text{Fe}_3\text{C} + \text{Mo}_2\text{C} + \text{M}_7\text{C}_3 \rightarrow \text{Fe}_3\text{C} + \text{Mo}_2\text{C} + \text{M}_7\text{C}_3 + \text{M}_6\text{C} \rightarrow \text{Mo}_2\text{C} + \text{M}_7\text{C}_3 + \text{M}_6\text{C} \rightarrow \text{M}_7\text{C}_3 + \text{M}_6\text{C} + \text{M}_{23}\text{C}_6$  のような炭化物反応の経過をたどり、また SV8 では  $\text{Fe}_3\text{C}$ ,  $\text{Mo}_2\text{C}$ ,  $\text{M}_7\text{C}_3$ ,  $\text{M}_6\text{C}$  の 4 種類が認められ、 $\text{Fe}_3\text{C} \rightarrow \text{Fe}_3\text{C} + \text{M}_7\text{C}_3 \rightarrow \text{Fe}_3\text{C} + \text{Mo}_2\text{C} + \text{M}_7\text{C}_3 + \text{M}_6\text{C} \rightarrow \text{Mo}_2\text{C} + \text{M}_7\text{C}_3 + \text{M}_6\text{C} \rightarrow \text{M}_7\text{C}_3 + \text{M}_6\text{C}$  の変化をたどることがわか

た。Fig. 5 からも明らかなように、S7 にVを添加した SV8 では  $\text{Fe}_3\text{C}$  の溶けこみが遅滞するなど炭化物の変化は S7 より遅れ、 $\text{M}_{23}\text{C}_6$  の発生もない。すなわち V は炭化物反応をおくらせる作用のあることが推測される。SV10においては、残渣のX線分析によつては  $\text{M}_7\text{C}_3$ ,  $\text{M}_{23}\text{C}_6$ ,  $\text{V}_4\text{C}_3$  が検出され、また抽出レプリカの電顕観察によつては低パラメータ値側で  $\text{Fe}_3\text{C}$  が少量存在するのを確認した。したがつて SV10 の焼戻時効過程では  $\text{Fe}_3\text{C} \rightarrow$  固溶消失  $\rightarrow \text{M}_7\text{C}_3 \rightarrow \text{M}_7\text{C}_3 + \text{M}_{23}\text{C}_6 \rightarrow \text{M}_7\text{C}_3 + \text{M}_{23}\text{C}_6 + \text{V}_4\text{C}_3$  の変化がおこつている。

S7, SV8, SV10 からのカーボン抽出レプリカの電顕観察によると、 $\text{Fe}_3\text{C}$  はウイドマンステッテン状を呈しており、また合金炭化物は析出初期においては微細な粒状で、パラメータ値の増大とともに成長しそして凝集によつて粗大化している状況が明瞭に認められた。

#### 4. 結 言

3Cr-1.5Mo 型の S7, 3Cr-1.5Mo-0.3V 型の SV8, 8Cr-1Mo-1.5V 型の SV10 の鋼を 400~700 °C において 1000hr までの焼戻時効したときに生ずる現象をまとめるとつぎのとおりである。

(1) S7, SV8, SV10 の各鋼種とも、それぞれ  $P = 16.5, 17.5, 17.0$  までは硬度はほとんど一定値を示すが、これらの点を越すと急激に軟化する。また S7 と SV8 を比較すると、Vを含有する SV8 の方が軟化抵抗は大きい。

(2) 衝撃値は各鋼種とも  $P = 18.5$  付近まではほとんど一定であるが、ここを過ぎると急激に増大する。したがつてこれらの衝撃値増大点は軟化点よりパラメータ値の大きい側にずれている。

(3) 先に示した温度と時間内での焼戻時効過程においては、S7 では  $\text{Fe}_3\text{C} \rightarrow \text{Fe}_3\text{C} + \text{Mo}_2\text{C} \rightarrow \text{Fe}_3\text{C} + \text{Mo}_2\text{C} + \text{M}_7\text{C}_3 \rightarrow \text{Fe}_3\text{C} + \text{Mo}_2\text{C} + \text{M}_7\text{C}_3 + \text{M}_6\text{C} \rightarrow \text{M}_7\text{C}_3 + \text{M}_6\text{C} + \text{M}_{23}\text{C}_6$ , SV8 では  $\text{Fe}_3\text{C} \rightarrow \text{Fe}_3\text{C} + \text{M}_7\text{C}_3 \rightarrow \text{Fe}_3\text{C} + \text{Mo}_2\text{C} + \text{M}_7\text{C}_3 \rightarrow \text{Fe}_3\text{C} + \text{Mo}_2\text{C} + \text{M}_7\text{C}_3 + \text{M}_6\text{C} \rightarrow \text{Mo}_2\text{C} + \text{M}_7\text{C}_3 + \text{M}_6\text{C} \rightarrow \text{M}_7\text{C}_3 + \text{M}_6\text{C}$ , SV10 では  $\text{Fe}_3\text{C} \rightarrow$  固溶消失  $\rightarrow \text{M}_7\text{C}_3 + \text{M}_{23}\text{C}_6 \rightarrow \text{M}_7\text{C}_3 + \text{M}_{23}\text{C}_6 + \text{V}_4\text{C}_3$  のような炭化物反応がおこつている。

#### 文 献

- 1) 西村, 新山: 鉄と鋼, 49 (1963), p. 1537
- 2) 西村, 新山: 鉄と鋼, 49 (1963), p. 1539
- 3) 西村, 新山: 鉄と鋼, 50 (1964), p. 668
- 4) 西村, 新山: 鉄と鋼, 50 (1964), p. 1939
- 5) 西村, 新山: 鉄と鋼, 51 (1965), p. 973
- 6) 西村, 新山: 鉄と鋼, 51 (1965), p. 2059

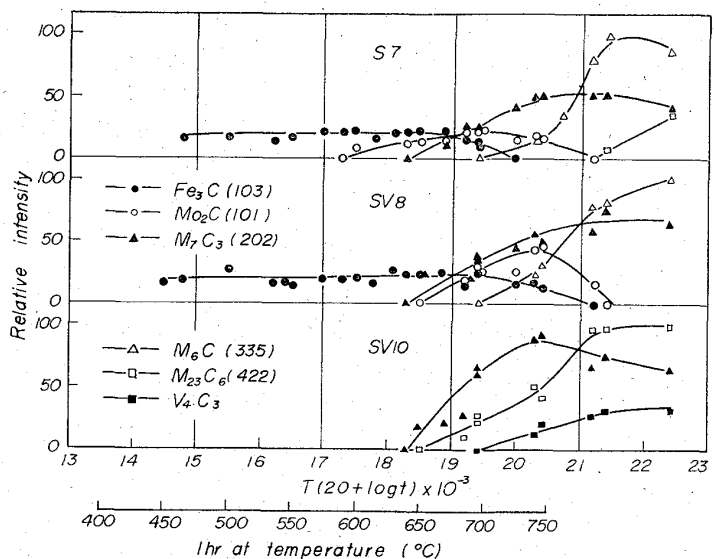


Fig. 5. Relative intensities of X-ray diffraction lines of  $\text{Fe}_3\text{C}$ ,  $\text{Mo}_2\text{C}$ ,  $\text{M}_6\text{C}$ ,  $\text{M}_{23}\text{C}_6$ , and  $\text{V}_4\text{C}_3$  carbides in S7, SV8, and SV10 steels.

#### (160) 5%Cr 熱間ダイス鋼の階段焼入れについて

金属材料技術研究所 ○渡辺 敏透  
東京大学, 工学部 工博 荒木 透

金属材料技術研究所 宮地 博文  
On the Stepped Quenching of 5%Cr Hot Work Die Steel.

Satoshi WATANABE, Dr. Tōru ARAKI  
and Hirobumi MIYAJI.

#### 1. 緒 言

5% Cr 熱間ダイス鋼には多くの種類があるが、MoとVを添加した H-11 type の鋼種は耐衝撃性が良好で、かつ熱間における機械的諸性質がすぐれているので、各種熱間成型用ダイスの材料として多く使用されている。またこの鋼種は引張強さが 160 kg/mm<sup>2</sup> 以上あるうえにオースフォームの効果が大きいので、超鋸力鋼としての用途も開発されつつある。

本鋼の熱処理は通常焼入れ、焼戻しであるが、ダイス鋼は一般に熱伝導率が低いので、大きな形状のものを焼入れる場合はしばしば階段焼入れが行なわれる。またオースフォームは階段焼入れの途中において加工を行なうものとも考えられる。

一般に階段焼入れを行なうと衝撃値が向上するといわれているが、この鋼種に関する研究はあまり見受けられない。そこで本鋼種の階段焼入れによる衝撃値の挙動をしらべると共に、焼戻し硬度曲線や組織におよぼす影響についても実験を行なつた。

#### 2. 試料および実験方法

##### 2.1 供試材

供試材は S30C と砂鉄原料純鉄を主体として高周波誘導炉で溶解し、これにフェロアロイを添加したのちアルミ脱酸して溶製した。